voir fichiers similaires: http://farbe.li.tu-berlin.de/AF29/AF29.HTM
informations techniques: http://farbe.li.tu-berlin.de/ ou http://farbe.li.tu-berlin.de/AE.HTM

TUB enregistrement: 20190301-AF29/AF29L0FA.TXT /.PS
application pour la mesure de sortie d'affichage et d'impression
TUB matériel: code=rha4ta

i	LAB^*_{ref}			l^*_{out}	LAB^*_{out}			$LAB^*_{out-ref}$			ΔE^*
1	69,69	0,00	0,00	0,00	69,69	0,00	0,00	0,00	0,00	0,00	0,01
2	71,41	0,00	0,00	0,00	69,75	0,00	0,00	-1,	0,00	0,00	1,65
3	73,12	0,00	0,00	0,01	69,96	0,00	0,00	-3,	0,00	0,00	3,15
4	74,83	0,00	0,00	0,02	70,37	0,00	0,00	-4,	0,00	0,00	4,46
5	76,55	0,00	0,00	0,05	70,99	0,00	0,00	-5,	0,00	0,00	5,56
6	78,26	0,00	0,00	0,08	71,84	0,00	0,00	-6,	0,00	0,00	6,42
7	79,98	0,00	0,00	0,12	72,93	0,00	0,00	-7,	0,00	0,00	7,04
8	81,69	0,00	0,00	0,17	74,28	0,00	0,00	-7,	0,00	0,00	7,40
9	83,41	0,00	0,00	0,24	75,90	0,00	0,00	-7,	0,00	0,00	7,50
10	85,12	0,00	0,00	0,31	77,80	0,00	0,00	-7,	0,00	0,00	7,32
11	86,83	0,00	0,00	0,39	79,98	0,00	0,00	-6,	0,00	0,00	6,85
12	88,55	0,00	0,00	0,49	82,45	0,00	0,00	-6,	0,00	0,00	6,09
13	90,26	0,00	0,00	0,60	85,22	0,00	0,00	-5,	0,00	0,00	5,04
14	91,98	0,00	0,00	0,72	88,30	0,00	0,00	-3,	0,00	0,00	3,67
15	93,69	0,00	0,00	0,85	91,69	0,00	0,00	-1,	0,00	0,00	1,99
16	95,41	0,00	0,00	1,00	95,41	0,00	0,00	0,00	0,00	0,00	0,01
17	69,69	0,00	0,00	0,00	69,69	0,00	0,00	0,00	0,00	0,00	0,01
18	76,12	0,00	0,00	0,04	70,81	0,00	0,00	-5,	0,00	0,00	5,30
19	82,55	0,00	0,00	0,20	75,06	0,00	0,00	-7,	0,00	0,00	7,48
20	88,98	0,00	0,00	0,52	83,11	0,00	0,00	-5,	0,00	0,00	5,86
21	95,41	0,00	0,00	1,00	95,41	0,00	0,00	0,00	0,00	0,00	0,01

la sortie S1
Selon la spécification à la ISO/IEC 15775 Annexe G et DIN 33866-1 Annexe G

Difference moyenne de clarté (16 palier)
ΔE^*_{CIELAB} = 4,6

Difference moyenne de clarté (5 palier)
ΔL^*_{CIELAB} = 3,7

Moyenne de l'indice de reproduction de couleur: $R^*_{ab,m}$ = 79,6

la part 1, AF290-3dd: 010562

Pour la linearized output de la 16 palier de gris in Fig. $A7_{dd}$

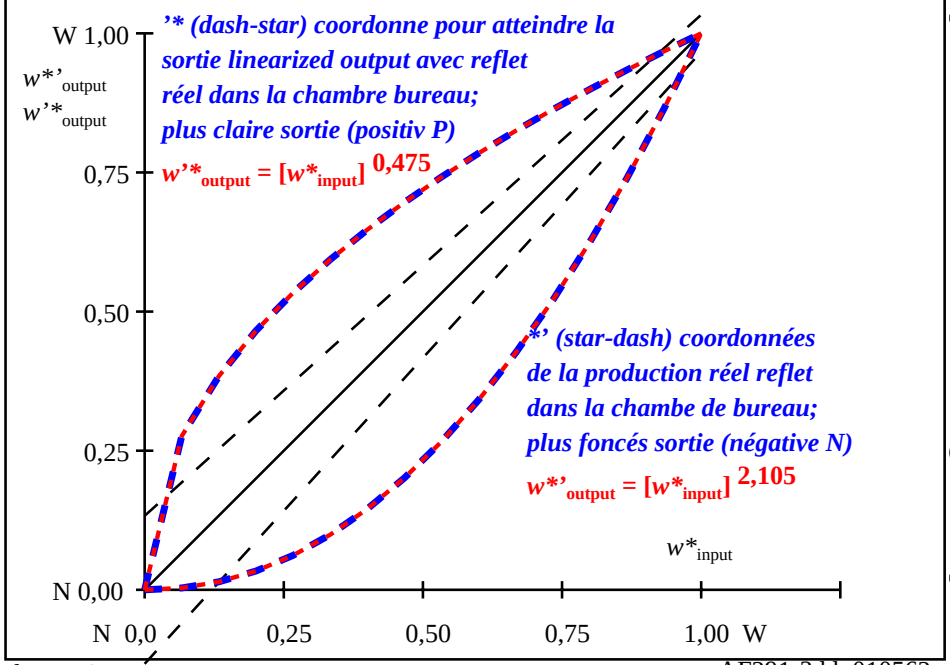

la part 2, AF291-3dd: 010562

$L^*/Y_{destiné}$ (absolu)	69,6/40,3	71,4/42,7	73,1/45,3	74,8/48,0	76,5/50,7	78,2/53,6	79,9/56,6	81,6/59,7	83,4/62,9	85,1/66,2	86,8/69,6	88,5/73,2	90,2/76,8	91,9/80,6	93,6/84,5	95,4/88,5
0 0 0 n setcmyk* g_N=2,105																
No et code Hex	00;F	01;E	02;D	03;C	04;B	05;A	06;9	07;8	08;7	09;6	10;5	11;4	12;3	13;2	14;1	15;0
$w^*=l^*_{CIELAB,\,r}$ (relative)																
$w^*_{destiné}$	0,000	0,067	0,133	0,200	0,267	0,333	0,400	0,467	0,533	0,600	0,667	0,733	0,800	0,867	0,933	1,000
w^*_{sortie}	0,000	0,003	0,014	0,033	0,062	0,098	0,145	0,201	0,265	0,341	0,426	0,520	0,625	0,740	0,864	1,000

la part 3, Fig. A7dd: 16 paliers de gris L^* èquidistante; PS opérateur : *0 0 0 n* setcmykcolor* AF290-7dd: 010562

In-out: Graphique AF29 conforme à graphique 2 à ISO/IEC 15775 entrée : *rgb/cmy0/000n/w set...*
Y contraste visible Y_W:Y_N=88,9:40; Y_N-gamme 30 to <60 sortie : ->rgb_{dd} *setrgbcolor*